

УДК 533

КОНИЧЕСКИЕ ЗАКРУЧЕННЫЕ ТЕЧЕНИЯ И ИХ ОБОБЩЕНИЯ

С. В. Хабиров

Институт механики Уфимского научного центра РАН, 450054 Уфа
E-mail: habirov@anrb.ru

Исследованы новые закрученные течения, представляющие собой течения в каналах, обтекание тел вращения и сток или источник на оси симметрии. Рассмотрены построенные по надгруппе групповые решения, являющиеся обобщениями конических течений.

Ключевые слова: конические течения газа, инвариантные решения, частично инвариантные решения, дифференциально-инвариантные решения.

Введение. Конические течения являются инвариантными решениями уравнений газовой динамики, построенными по группе, состоящей из операторов переноса по времени, вращения и равномерного растяжения по всем независимым переменным [1–3]. Обычно рассматриваются движения газа без вращения, представляющие собой обтекание тел вращения с ударными волнами и гладкими сопряжениями через характеристики. В данной работе рассмотрены конические течения с вращением. Выводятся уравнения инвариантной подмодели на трехпараметрической группе, состоящей из операторов переноса по времени, вращения и растяжения. С помощью надгруппы найдены специальные точные решения. Построена асимптотическая модель почти равномерного потока. В качестве обобщений конических течений предложена дифференциально-инвариантная подмодель ранга $1 + 0$ на пятимерной надгруппе, решения которой принадлежат множеству частично инвариантных решений ранга 1 дефекта 2.

1. Подмодель конически закрученных течений. Рассмотрим самонормализованную подалгебру с номером 3.1 из оптимальной системы [4]. Базис операторов состоит из оператора вращения вокруг оси x ∂_θ , оператора переноса по времени ∂_t , оператора равномерного растяжения $t \partial_t + x \partial_x + r \partial_r$ в цилиндрической системе. Инварианты этих операторов задают представление компонент скорости, плотности ρ и энтропии S :

$$U = U(s), \quad V = V(s), \quad W = W(s), \quad \rho = \rho(s), \quad S = S(s), \quad s = xr^{-1}.$$

Здесь U, V, W — продольная вдоль оси x , радиальная и окружная компоненты скорости. Из уравнения состояния $p = f(\rho, S)$ следует представление для давления $p = p(s)$. Скорость звука a определяется равенством $a^2 = f_\rho$. Подставляя эти представления в уравнения газовой динамики [1], получаем инвариантную подмодель конических течений

$$(U - sV)U' + \rho^{-1}p' = 0, \quad (U - sV)V' + \rho^{-1}sp' = W^2, \quad (U - sV)W' = -VW, \\ (U - sV)\rho' + \rho((U - sV)' + 2V) = 0, \quad (U - sV)S' = 0.$$

Работа выполнена при финансовой поддержке Российского фонда фундаментальных исследований (коды проектов 11-01-000026-а, 11-01-00147-а, НШ-4368.2010.1) и гранта № 11.G34.31.0042 Правительства РФ по постановлению № 220.

Для подмодели найдены три интеграла [3]: интеграл энтропии $S = S_0$, интеграл Бернулли $U^2 + V^2 + W^2 + 2I(\rho) = 0$, $I(\rho) = -\int_{\rho}^{\rho_*} \rho^{-1} f_{\rho} d\rho$, $\rho_* > \rho$, интеграл закрутки $W^2 = \rho|U - sV|$, где постоянная интегрирования равна единице с учетом преобразования растяжения $D^{-1}\mathbf{u} \rightarrow \mathbf{u}$, $D^{-2}f \rightarrow f$. Используя эти интегралы, подмодель конических течений сведем к равенствам

$$\begin{aligned} U^2 + V^2 + \sigma\rho(U - sV) + 2I(\rho) &= 0, \\ sU' + V' &= \rho\sigma, \\ U'(1 - \rho^{-1}I_{\rho}^{-1}(U - sV)^2) - sV' + V &= 0, \end{aligned} \quad (1.1)$$

где $\sigma = \text{sgn}(U - sV)$. Если $W = 0$ ($D = 0$), то получаем конические течения без закрутки, которые исследованы достаточно подробно [1–3]. Далее рассматриваются решения при $W \neq 0$.

2. Особое решение. Для особых решений определитель системы квазилинейных дифференциальных уравнений (1.1) равен нулю.

Утверждение. *Существует единственное особое решение системы (1.1) с уравнением состояния $p = a_0^2\rho^2/2 + p_0$:*

$$\begin{aligned} \rho &= a_0^2\lambda^{-2}, & V &= \sigma a_0^2 s\lambda^{-2}, & U &= \sigma a_0^2(2 - \lambda^{-2}), \\ W &= a_0^2\lambda^{-1}, & \lambda^2 &= 1 + s^2. \end{aligned} \quad (2.1)$$

Доказательство. Если определитель квазилинейной системы (1.1) равен нулю, то коэффициенты уравнений пропорциональны:

$$V = \sigma s\rho, \quad U = \sigma(s^2\rho + \lambda a), \quad a^2 = \rho I_{\rho} = f_{\rho}, \quad W^2 = \rho\lambda a \quad \Rightarrow \quad \lambda > 0.$$

При этом система (1.1) сводится к одному дифференциальному уравнению

$$\frac{d\lambda}{\lambda} + \frac{\lambda + a_{\rho}}{a + 2\lambda\rho} d\rho = 0, \quad (2.2)$$

интеграл Бернулли принимает вид

$$\lambda^4\rho^2 + 2\lambda^3\rho a + \lambda^2(a^2 - \rho^2) - \lambda\rho a + 2I = 0.$$

В силу (2.2) дифференциал интеграла Бернулли записывается в виде

$$(a + 2\lambda\rho)((a + 2\lambda\rho)^2 - 9a^2) = 0.$$

Это уравнение имеет три корня: $-a(2\rho)^{-1}$, $-2a\rho^{-1}$, $a\rho^{-1}$, среди которых только положительный корень имеет физический смысл. Подставляя $\lambda = a\rho^{-1}$ в дифференциальное равенство (2.2), получаем равенство $a = a_0\sqrt{\rho}$, из которого следуют уравнение состояния и решение (2.1).

Решение (2.1) описывает сверхзвуковое течение:

$$q^2 = U^2 + V^2 + W^2 = 2a_0^4(1 + 2s^2)/(1 + s^2) > a_0^4/(1 + s^2) = a^2.$$

В начальном сечении $x = 0$ ($s = 0$) имеем $V = 0$, $\rho = a_0^2$, $U = a_0^2 = W$, т. е. закрученный постоянный поток ($\sigma = 1$). При $x < 0$ этот поток можно считать заданным, так как поверхность $x = 0$ является характеристикой на решении (2.1) подмодели установившихся осесимметричных движений (инвариантная подмодель подалгебры $\{\partial_{\theta}, \partial_t\}$). Следовательно, эта поверхность представляет собой слабый разрыв с равномерным закрученным потоком. Скачок ускорения равен $[V_x] = a_0^2 r^{-1}$.

При $s \rightarrow \infty$ имеем $V = W = 0$, $U = 2a_0^2$, $\rho \rightarrow 0$, т. е. истечение в вакуум с удвоенной начальной продольной скоростью. Линии тока L удовлетворяют уравнениям

$$\frac{dx}{r^2 + 2x^2} = \frac{dr}{xr} = \frac{d\theta}{\sqrt{x^2 + r^2}}$$

и определяются равенствами

$$x^2 = r^2(K_0^2 r^2 - 1), \quad r = K_0^{-1} \operatorname{ch}(\theta - \theta_0),$$

где K_0, θ_0 — постоянные, задающие линию тока. Таким образом, $r > K_0^{-1}$, график функции $r = r(x)$ симметричен относительно оси r , в первом квадранте имеются точка перегиба $(K_0^{-1}\sqrt{3}/2, K_0^{-1}\sqrt{3}/\sqrt{2})$ и точка минимума $(0, K_0^{-1})$, асимптоты отсутствуют. Линия тока представляет собой спираль, намотанную на поверхность вращения кривой $r = r(x)$ вокруг оси x . Поверхность вращения задает разгонное сопло, преобразующее закрученный поток в поступательный поток. При $\sigma = -1$, наоборот, поступательный поток преобразуется в закрученный поток в диффузоре.

3. Решения, полученные по надалгебре. Рассмотрим для подалгебры 3.1 надалгебру 4.2 с базисом $\partial_x, \partial_t, \partial_\theta, t\partial_t + x\partial_x + r\partial_r$ [4]. Инвариантами являются все газодинамические функции. Частично инвариантное решение ранга 0 дефекта 4 может быть частным решением подмодели конических течений. Это значит, что одна из функций постоянна.

Пусть $U = U_0$, тогда $\rho = \rho_0$, $V = \sigma\rho_0 s$, $W^2 = \rho_0(U_0 - \rho_0 s^2)$, где положительные постоянные U_0, ρ_0 удовлетворяют соотношению $U_0^2 + \rho_0 U_0 + 2I(\rho_0) = 0$. То же решение получаем, полагая $\rho = \rho_0$. Решение определено вне конуса: $|x| \leq \sqrt{U_0 \rho_0^{-1}} r$. На характеристике $x = 0$ ($\sigma = 1$) имеем $U = U_0$, $V = 0$, $W = \sqrt{\rho_0 U_0}$, т. е. постоянный закрученный поток в области $x < 0$. При $x > 0$ линия тока L есть прямая на однополостном гиперболоиде $U_0 r^2 = \rho_0(x^2 + K_0^2)$, $r\sqrt{U_0 \rho_0^{-1}} \cos(\theta - \theta_0) = K_0$. При $r \rightarrow \infty$ имеем $U = U_0$, $W^2|_L = K_0^2 \rho_0^2 r^{-2} \rightarrow 0$, $V \rightarrow \sqrt{\rho_0 U_0}$. В этом случае течение стремится к равномерному вдоль конуса течению. В результате получаем безударное обтекание конуса закрученным потоком. При $\sigma = -1$ получаем течение в противоположном направлении.

Пусть $V = V_0$. При $V_0 = 0$ из (1.1) следуют равенства

$$\sigma = \operatorname{sgn} U, \quad |U| = a, \quad a^2 + \rho a + 2I = 0, \quad sU' = \sigma\rho, \quad W^2 = \rho a,$$

из которых получаем уравнение состояния $a = 2K\rho$, $K > 0$. Следовательно, $p = K\rho^2 + \rho_0$. В этом случае решение (1.1) имеет вид

$$\rho = \rho_0 |s|^{1/(2K)}, \quad U = 2\sigma K \rho_0 |s|^{1/(2K)}, \quad W = \sqrt{2K} \rho_0 |s|^{1/(2K)}.$$

Линиями тока течения являются спирали $x = r_0 \sqrt{2K} (\theta - \theta_0) + x_0$ на цилиндре $r = r_0$. Мирные линии задаются равенством

$$x^{(2K-1)/(2K)} = x_0^{(2K-1)/(2K)} + (2K-1)\rho_0 r_0^{-1/(2K)} t \quad (x = x_0 \exp(\rho_0 r_0^{-1} t) \quad \text{при} \quad K = 1/2).$$

Здесь x_0, r_0, θ_0 — лагранжевы координаты частицы.

При $V_0 \neq 0$ преобразование эквивалентности $UV_0^{-1} \rightarrow U$, $\rho V_0^{-1} \rightarrow \rho$, $WV_0^{-1} \rightarrow W$, $1 + 2V_0^{-2}I \rightarrow I$ приводит к равенствам $V = 1$, $\sigma = \operatorname{sgn}(U - s)$, $sU' = \sigma\rho$, $U^2 + \sigma\rho(U - s) + 2I = 0$, $(U - s)^2 = I_\rho(\rho + \sigma s)$, $W^2 = \rho\sigma(U - s)$, из которых следует неравенство $U^2 + 2I < 0$.

Исключая из системы (1.1) с учетом полученных соотношений переменную s , имеем систему уравнений

$$\begin{aligned} \rho I_\rho(U^2 + 2I + \rho\sigma U + \rho^2) &= (U^2 + 2I)^2, \\ \sigma U_\rho(U^2 + 2I) &= \rho I_\rho. \end{aligned} \tag{3.1}$$

Исключая из системы (3.1) переменную ρ , имеем уравнение

$$(U^2 + 2I)(1 + IU) = IU(IU + U).$$

В переменных $-z^2 = 1 + 2IU^{-2}$, $\beta(z) = z + Uz_U$ получаем уравнение Абеля

$$z_\beta = z^2 - \beta^{-1}z^3. \tag{3.2}$$

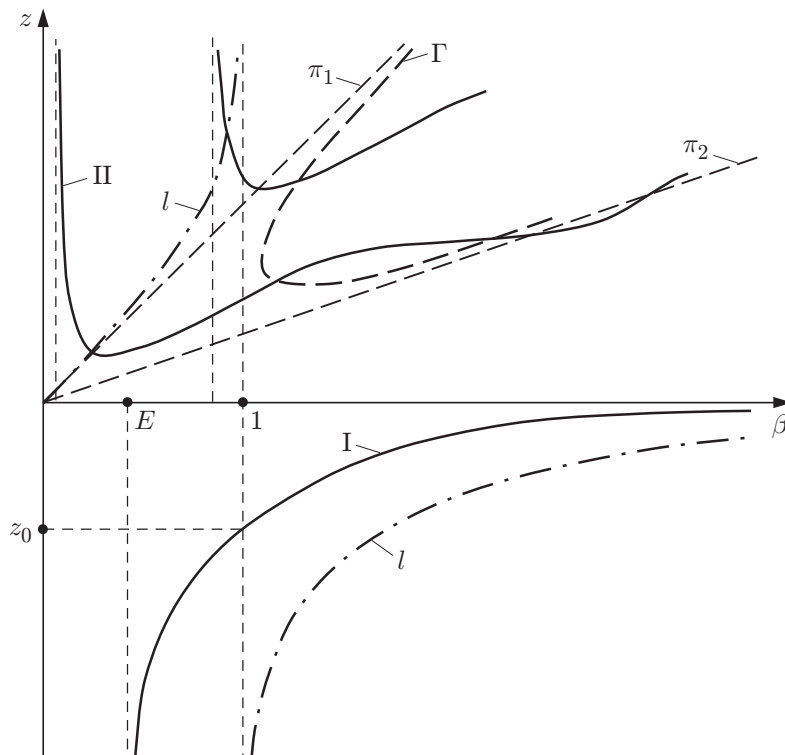
Отражение переменных относительно начала системы координат не приводит к изменению уравнения (3.2). Достаточно построить интегральные кривые в полуплоскости $\beta > 0$. Прямые $\beta = 0$ и $z = 0$ являются интегральными прямыми. Уравнение прямой максимумов $z = \beta$. Точки перегибов расположены на гиперболе $(2\beta - 3z)(z - \beta) = 1$ (гиперболе Γ) с асимптотами $z = \beta$ и $z = 2\beta/3$ (асимптотами π_1, π_2 соответственно). Гипербола не пересекает оси z, β . При $|z| \rightarrow \infty$ интегральные кривые описываются выражением $\beta \sim E + E(2z^2)^{-1} + E^2(3z^3)^{-1}$. При $\beta \rightarrow \infty, 0 < z < \beta$ интегральные кривые аппроксимируются гиперболой Γ . При $\beta \rightarrow \infty, z < 0$ асимптотика решений имеет вид

$$z = -\frac{1}{\beta} \left(1 + \frac{c}{\beta} + \frac{c^2 + 1}{\beta^2} + \frac{C(C^2 + 5/2)}{\beta^3} + \frac{C^4 + 13C^2/3 + 4/3}{\beta^4} + \dots \right).$$

Решение описывается интегральными кривыми типов I и II (см. рисунок). Вычислим параметры течения вдоль каждой интегральной кривой:

$$U = U_0 \exp \left(\int \frac{dz}{\beta - z} \right), \quad I = -\frac{1}{2} U^2 (1 + z^2), \quad \rho = \sigma \frac{Uz^2}{1 + \beta z}, \tag{3.3}$$

$$s = -U\beta z, \quad W = s\beta^{-1}.$$



Интегральные кривые уравнения Абеля:

Γ — гипербола $(2\beta - 3z)(z - \beta) = 1$; π_1 — асимптота $z = \beta$; π_2 — асимптота $2\beta/3$; l — кривая $z = \beta(1 - \beta^2)^{-1}$; I — немонотонная интегральная кривая; II — монотонная интегральная кривая

Из (3.3) следует равенство для определения уравнения состояния

$$-a^2 \rho^{-1} = (1 + \beta z)^4 z^{-4} (\beta z^{-1} - 1 + \beta^2) \leq 0.$$

Таким образом, $\beta z^{-1} - 1 + \beta^2 \leq 0$.

Кривая $z = \beta(1 - \beta^2)^{-1}$ (кривая l) разделяет интегральные кривые на физически допустимые и недопустимые для газа. Интегральные кривые типа I, при $z \rightarrow -\infty$ стремящиеся к прямой $\beta = E \leq 1$, соответствуют решениям, имеющим физический смысл: по этим кривым определяется уравнение состояния из параметрического уравнения

$$f_\rho = \rho^2 z^{-4} (1 + \beta z)^4 (1 - \beta^2 - \beta z^{-1}), \quad \rho = \sigma U_0 z^2 (1 + \beta z)^{-1} \exp\left(\int \frac{dz}{\beta - z}\right).$$

Поскольку выполнено неравенство $1 + \beta z > 0$, должно выполняться соотношение $\sigma U_0 < 0$. В силу (3.3) величины U , s имеют один и тот же знак и $W^2 = -sUz\beta^{-1} > 0$.

Для имеющих физический смысл кривых типа I справедливо соотношение

$$C = C(E) < 0, \quad 0 < E < 1.$$

Опишем поведение траекторий течения. Из (3.3) следует формула

$$s = -U_0 \beta z \exp\left(\int \frac{z^2 d\beta}{\beta}\right) = -U_0 \beta z \exp\left(\int \frac{dz}{\beta - z}\right). \quad (3.4)$$

Так как $dr/dt = 1$, то траектория лежит на поверхности вращения кривой, удовлетворяющей уравнению

$$\frac{dx}{dr} = U = -\frac{s}{\beta z}, \quad s = \frac{x}{r}, \quad r \frac{d\varphi}{dr} = \frac{s}{\beta}.$$

Следовательно,

$$-\frac{dr}{r} = z d\beta = \frac{\beta}{z(\beta - z)} dz. \quad (3.5)$$

При $\beta \rightarrow \infty$, $z \rightarrow -0$ имеем $z \simeq -\beta^{-1}(1 + C\beta^{-1})$, и из (3.5) следует $r \simeq K(\beta - C)$, $K > 0$ и $r \rightarrow \infty$ при $\beta \rightarrow \infty$. В силу (3.4) из этих соотношений получаем

$$x \simeq U_0 r \left(1 + \frac{K(C + K)}{r + KC}\right).$$

Эта функция монотонно возрастает и имеет асимптоту $x = U_0(r + KC + K^2)$. Таким образом, траектория течения представляет собой кривую на поверхности вращения, форма которой близка к форме конуса при $r \rightarrow \infty$. Так как $\varphi \simeq \varphi_0 - KU_0 r^{-1}$, то при $r \rightarrow \infty$ $\varphi \rightarrow \varphi_0$.

При $\beta \rightarrow E$, $z \rightarrow -\infty$ имеем $\beta \simeq E(1 + (2z^2)^{-1})$, и из (3.5) следует $r \simeq N(1 - Ez^{-1}) \rightarrow N$ при $z \rightarrow -\infty$, $N > 0$. В силу (3.4) из этих соотношений получаем

$$r \rightarrow N: \quad x \simeq U_0 E^2 N.$$

Форма траектории течения близка к окружности. Такие траектории в виде окружностей образуют нелинейный источник. Угол поворота точки на траектории изменяется по закону $\varphi = \varphi_1 - ENU_0 r^{-1} \rightarrow \varphi_0 - U_0 E$.

Итак, траектории лежат на поверхности вращения кривой, исходящей из точки на поверхности нелинейного источника и приближающейся к асимптоте.

4. Почти одномерный поток с вращением. Пусть функция I линейна: $I = I_0 + I_1\rho$. В этом случае уравнение состояния является квадратичным: $p = p_0 + I_1\rho^2/2$. Уравнения конической модели (1.1) принимают вид ($\sigma = \pm 1$)

$$U^2 + V^2 + 2I_0 + \rho(2I_1 + \sigma(U - sV)) = 0, \quad W^2 = \sigma\rho(U - sV),$$

$$sU' + V' = \sigma\rho, \quad ((U - sV)^2 I_1^{-1} \rho^{-1} - 1)U' + sV' = V.$$

С учетом преобразований $U \rightarrow I_1 U$, $V \rightarrow I_1 V$, $\rho \rightarrow I_1 \rho$, $I_0 \rightarrow I_1^2 I_0$, $I_1 = 1$, $2I_0 = -m^2$. Исключая ρ из полученных выше выражений, в полярных координатах плоскости годографа $U = q \cos \varphi$, $V = q \sin \varphi$ имеем

$$W^2 = \sigma q(\cos \varphi - s \sin \varphi)\rho, \quad \rho = \frac{m^2 - q^2}{2 + \sigma q(\cos \varphi - s \sin \varphi)},$$

$$q'(s \cos \varphi + \sin \varphi) + q\varphi'(\cos \varphi - s \sin \varphi) = \sigma\rho,$$

$$(q^2(\cos \varphi - s \sin \varphi)^2 \rho^{-1} - 1)(q' \cos \varphi - q\varphi' \sin \varphi) + s(q' \sin \varphi + q\varphi' \cos \varphi) = q \sin \varphi.$$

Моделируем почти одномерный поток растяжением: $r \rightarrow \varepsilon r$, $\varphi \rightarrow \varepsilon \varphi$, $V \rightarrow \varepsilon V$, где ε — малый параметр. Тогда

$$s \rightarrow \varepsilon^{-1} s, \quad W^2 = \sigma q(\cos(\varepsilon\varphi) - s\varepsilon^{-1} \sin(\varepsilon\varphi))\rho, \quad \rho^{-1} = \frac{2 + \sigma q(\cos(\varepsilon\varphi) - s\varepsilon^{-1} \sin(\varepsilon\varphi))}{m^2 - q^2},$$

$$q'(s \cos(\varepsilon\varphi) + \varepsilon \sin(\varepsilon\varphi)) + \varepsilon^2 q\varphi'(\cos(\varepsilon\varphi) - \varepsilon^{-1} \sin(\varepsilon\varphi)) = \sigma\rho,$$

$$(q^2(\cos(\varepsilon\varphi) - s\varepsilon^{-1} \sin(\varepsilon\varphi))^2 \rho^{-1} - 1)(q' \cos(\varepsilon\varphi) - \varepsilon q\varphi' \sin(\varepsilon\varphi)) +$$

$$+ s(q'\varepsilon^{-1} \sin(\varepsilon\varphi) + q\varphi' \cos(\varepsilon\varphi)) = q\varepsilon^{-1} \sin(\varepsilon\varphi).$$

Нулевое приближение по малому параметру ε имеет вид

$$W^2 = \sigma q(1 - s\varphi)\rho, \quad \rho^{-1} = \frac{2 + \sigma q(1 - s\varphi)}{m^2 - q^2}, \quad U = q, \quad V = q\varphi, \quad (4.1)$$

$$sq' = \rho\sigma, \quad (q^2(1 - s\varphi)^2 \rho^{-1} - 1)q' + s(q'\varphi + q\varphi') = q\varphi.$$

В переменных $\psi = s\varphi - 1$, $\tau = \ln s$ получаем автономную систему

$$q_\tau = \sigma \frac{m^2 - q^2}{2 - \sigma q\psi} = \rho\sigma, \quad q\psi_\tau = -\sigma q^2 \psi^2 + 2q(\psi + 1) - \sigma\psi \frac{m^2 - q^2}{2 - \sigma q\psi}, \quad (4.2)$$

из которой следует уравнение

$$(m^2 - q^2)q \frac{d\psi}{dq} = -\sigma q^3 \psi^3 - q^2 \psi + 4q\sigma(\psi + 1) - m^2 \psi - 4q^2 \psi^2.$$

В общем случае в области $q \geq 0$ имеется четыре стационарные точки. Точка $q = \psi = 0$ представляет собой седло с сепаратрисами $q = 0$, $2\sigma q = m^2 \psi$ (касательная сепаратрисы). При $q = \sigma t$ величина ψ удовлетворяет кубическому уравнению $m^2 \psi^3 + 4m\psi^2 + 2(m - 2)\psi = 4$.

Пусть $m = -2$, тогда из (4.1) следует $\sigma = -1$, $\psi > 0$, $0 < q < 2$. При $q = 2$ на границе области $q \geq 0$ имеется еще одна стационарная точка $\psi = \psi_* \approx 2,83$ — седло с сепаратрисой $q = 2$. Другая сепаратриса имеет асимптотику $\psi \sim \psi_* - K(q - 2) = 2,83 - 1,26(q - 2)$. При $q \rightarrow 0$, $\psi \rightarrow \infty$ асимптотика интегральных кривых имеет вид

$$\psi = Cq^{-1} + C(C^2/4 - C - 1) + O(q).$$

Сепаратриса седла $\psi = \Psi(q)$, $q \in [0, 2)$, $\psi_* = \Psi(2)$, $\Psi(0) = \infty$ входит в стационарную точку при некотором значении параметра C . На сепаратрисе решение уравнений (4.2) имеет вид

$$s = s_0 \exp \left(\int_0^q \frac{2 + q\Psi(q)}{q^2 - 4} dq \right), \quad s\varphi = 1 + \Psi(q).$$

Гладкая аппроксимация сепаратрисы задается формулой

$$\Psi(q) \simeq \begin{cases} \psi_* - K(q - 2), & q_1 < q < 2, \\ Cq^{-1} + C_1, & 0 < q < q_1, \end{cases}$$

где $q_1 \approx 1,96$; $C = Kq_1^2 \simeq 4,84$; $C_1 = C(C^2/4 - C - 1) \approx 0,1$.

Траектории движения частиц зададим параметрически по формулам

$$d \ln x = \frac{2 + q\Psi}{\Psi(4 - q^2)} dq, \quad d \ln r = (1 + \Psi) d \ln x.$$

При $q \approx 2$ получаем ($2 - q = \delta$ — малая величина)

$$\begin{aligned} x &\sim x_1 \delta^{-(1+\psi_*^{-1})/2} (1 + (1 - \psi_*^{-1} + 4K\psi_*^{-2})\delta/8), \\ r &\sim r_1 \delta^{-\psi_*^{-1}(1+\psi_*)^2/2} \left(1 + \left(-\frac{1}{4}(2K - 1) + \frac{1}{8}\psi_*^{-1} + \frac{1}{8}(4K + 1)\psi_*^{-2} \right) \delta \right), \\ W &\sim 4\psi_* \delta^{1/2} (1 + \delta(K\psi_*^{-1} - 5/8)). \end{aligned}$$

Отсюда следует уравнение для траекторий при $x \rightarrow \infty$, которые лежат на поверхности вращения кривой, описываемой убывающей функцией

$$|x/x_1|^{-1,5} + 2,14 |r/r_1|^{-0,4} = 2,66,$$

или

$$r/r_1 \sim 0,6(1 + 0,4|x/x_1|^{-3/2})$$

с малым вращением W при $\delta \rightarrow 0$.

При $q \approx 0$ получаем следующие асимптотические зависимости:

$$x \sim x_0 \left(1 + \frac{2 + C}{8C} q^2 \right), \quad r \sim r_0 \left(1 + \frac{2 + C}{4} q \right), \quad W \sim 2 \left(\frac{C}{2 + C} \right)^{1/2} \left(1 + \frac{C_1(1 + C)}{C(2 + C)} q \right).$$

Значит, траектории лежат на поверхности вращения параболы, при этом окружная компонента скорости $W \approx 1,7$.

Выбирая одну из поверхностей вращения в качестве стенки, получаем сужающийся канал, в котором вращение потока замедляется, на выходе стремясь к нулю.

5. Простая волна на пятимерной надалгебре. Рассмотрим пятимерную алгебру 5.3 из оптимальной системы [4], в базис которой в дополнение к рассматриваемым в п. 1 операторам входят операторы переносов по y и z в декартовой системе координат. В цилиндрической системе координат операторы переносов принимают вид

$$\begin{aligned} \partial_y &= \cos \theta \partial_r - r^{-1} \sin \theta (\partial_\theta + W \partial_V - V \partial_W), \\ \partial_z &= \sin \theta \partial_r - r^{-1} \cos \theta (\partial_\theta + W \partial_V - V \partial_W). \end{aligned}$$

Базис дифференциальных инвариантов [5] алгебры 5.3 имеет вид

$$\rho, \quad p, \quad U, \quad Q, \quad J_0 = Y_0\vartheta, \quad J_1 = Y_1\vartheta, \quad J_2 = Y_2\vartheta + s \sin \vartheta, \quad J_3 = Y_3\vartheta - s \cos \vartheta,$$

где $Q = \sqrt{V^2 + W^2}$; $\operatorname{tg} \vartheta = W/V$; $Y_0 = xD_t$, $Y_1 = xD_x$, $Y_2 = x(\cos \vartheta D_r + r^{-1} \sin \vartheta D_\theta)$, $Y_3 = x(\sin \vartheta D_r - r^{-1} \cos \vartheta D_\theta)$ — операторы инвариантного дифференцирования; D_t , D_x , D_r , D_θ — операторы полного дифференцирования по независимым цилиндрическим координатам.

Операторы полного дифференцирования образуют алгебру над полем дифференциальных инвариантов, поскольку

$$\begin{aligned} [Y_0, Y_1] &= -Y_0, & [Y_0, Y_2] &= -J_0Y_3, & [Y_0, Y_3] &= J_0Y_2, \\ [Y_1, Y_2] &= Y_2 - J_1Y_3, & [Y_1, Y_3] &= Y_3 + J_1Y_2, & [Y_2, Y_3] &= J_2Y_2 + J_3Y_3. \end{aligned}$$

Рассмотрим дифференциально-инвариантную подмодель ранга $1 + 0$, в случае когда все инварианты являются функциями одного параметра ρ (плотность ρ — функция общего вида). Эти решения, которые можно назвать простыми волнами для подалгебры 5.3, являются частично инвариантными решениями ранга 1 дефекта 2, если ρ , ϑ — функции общего вида, а функции p , U , Q зависят только от ρ .

Представление решения имеет вид

$$\begin{aligned} p &= p(\rho), & U &= U(\rho), & Q &= Q(\rho), & Y_0\vartheta &= J_0(\rho), & Y_1\vartheta &= J_1(\rho), \\ Y_3\vartheta - s \cos \vartheta &= J_3(\rho), & Y_2\vartheta + s \sin \vartheta &= J_2(\rho). \end{aligned} \quad (5.1)$$

Все остальные дифференциальные инварианты, полученные действием операторов инвариантного дифференцирования на инварианты меньшего порядка, также являются функциями ρ , например: $Y_i\rho = R_i(\rho)$, $i = 0, 1, 2, 3$.

Условия совместности для представления решения получаются в результате действия коммутационных соотношений на величины ϑ , ρ :

$$\begin{aligned} R_0J'_1 - R_1J'_0 &= -J_0, & R_0J'_3 - R_3J'_0 &= J_0J_2, & R_0J'_2 - R_2J'_0 &= -J_0J_3, \\ R_1J'_2 - R_2J'_1 &= J_2 - J_1J_3, & R_1J'_3 - R_3J'_1 &= J_3 + J_1J_2, & R_3J'_2 - R_2J'_3 &= -J_2^2 - J_3^2, \\ R_0R'_1 - R_1R'_0 &= -R_0, & R_0R'_2 - R_2R'_0 &= -J_0R_3, & R_0R'_3 - R_3R'_0 &= J_0R_2, \\ R_1R'_2 - R_2R'_1 &= R_2 - J_1R_3, & R_1R'_3 - R_3R'_1 &= R_3 + J_1R_2, & R_2R'_3 - R_3R'_2 &= J_2R_2 + J_3R_3. \end{aligned}$$

Эта переопределенная инволюционная система 12 дифференциальных уравнений для восьми функций имеет общее решение, зависящее от произвольных функций $\varphi(\rho)$, $\sigma(\rho)$ и одной постоянной D :

$$\begin{aligned} R_0 &= (\varphi')^{-1}, & R_1 &= -\varphi(\varphi')^{-1}, & R_2 &= D(\varphi')^{-1} \cos \sigma, & R_3 &= D(\varphi')^{-1} \sin \sigma, \\ J_0 &= (\varphi')^{-1}\sigma', & J_1 &= -\varphi(\varphi')^{-1}\sigma', & J_2 &= D(\varphi')^{-1}\sigma' \cos \sigma, & J_3 &= D(\varphi')^{-1}\sigma' \sin \sigma. \end{aligned} \quad (5.2)$$

Для любых функций $\sigma(\rho)$, $\varphi(\rho)$ система (5.2) определяет плотность ρ и угол наклона скорости ϑ :

$$\vartheta = \sigma(\rho) - \theta, \quad \varphi(\rho) = x^{-1}(t + Dr \cos \theta). \quad (5.3)$$

Уравнения газовой динамики в дифференциальных инвариантах алгебры 5.3 имеют вид

$$\begin{aligned} Y_0U + UY_1U + QY_2U + \rho^{-1}Y_1p &= 0, & Y_0Q + UY_1 + QY_2Q + \rho^{-1}Y_2p &= 0, \\ J_0 + UJ_1 + QJ_2 - Q^{-1}\rho^{-1}Y_3p &= 0, \\ Y_0\rho + UY_1\rho + QY_2\rho + \rho(Y_1U + Y_2Q - QJ_3) &= 0, & Y_0S + UY_1S + QY_2S &= 0. \end{aligned} \quad (5.4)$$

Подставляя в (5.4) представления (5.1), (5.2), получаем уравнения

$$mS' = 0, \quad m + \rho(-\varphi U' + D(Q \cos \sigma)') = 0, \quad \rho m U' = \varphi p', \\ \rho m Q' + Dp' \cos \sigma = 0, \quad \rho m Q \sigma' = Dp' \sin \sigma,$$

где $m = 1 - U\varphi + DQ \cos \sigma$.

При $m = 0$ получаем изобарическую волну, описываемую соотношениями $p = p_0$, $U = 0$, $Q = -(D \cos \sigma)^{-1}$, причем σ , φ — произвольные функции ρ . Этот режим соответствует состоянию покоя с распределенной плотностью в равномерно движущейся системе координат.

При $m \neq 0$ получаем изоэнтропическую волну, описываемую соотношениями

$$S = S_0, \quad \chi = K \operatorname{ctg} \sigma + D^{-1}, \quad Q = K(\sin \sigma)^{-1}, \quad \varphi = -DU' \chi'^{-1}, \\ \chi^2 + U^2 = I^2 = 2 \int_{\rho}^{\rho_*} \frac{dp}{\rho} \quad (\rho_* > \rho), \quad \chi'^2 + U'^2 = \rho^{-2} p', \quad p' = a^2.$$

Последнее уравнение интегрируется с помощью подстановки $\chi = I \sin n(\rho)$, $U = I \cos n(\rho)$. В результате получаем $n' = a\rho^{-1}I^{-1} \cos \lambda$, $\varphi = D \operatorname{tg}(n - \lambda)$, $\sin \lambda = -aI^{-1}$.

Мировые линии для изоэнтропической волны определяются уравнениями

$$\dot{x} = I \cos n(\rho), \quad \dot{r} = K \cos(\sigma - \theta)(\sin \sigma)^{-1}, \quad r\dot{\theta} = K \sin(\sigma - \theta)(\sin \sigma)^{-1}$$

или в силу (5.3) уравнениями в декартовых координатах

$$\dot{y} = I \sin n - D^{-1}, \quad \dot{z} = K, \quad \operatorname{tg}(n - \lambda) = x^{-1}(tD^{-1} + y).$$

Следовательно,

$$(n' - \lambda')\dot{\rho} = -x^{-1}I \sin \lambda \cos(n - \lambda).$$

Для траекторий течения получаем интегрируемые уравнения с параметром ρ

$$\frac{dx}{d\rho} = x \frac{(n' - \lambda') \cos n}{\sin \lambda \cos(n - \lambda)}, \quad \frac{dy}{d\rho} = x \frac{(n' - \lambda')(I \sin n - D^{-1})}{I \sin \lambda \cos(n - \lambda)}, \\ \frac{dz}{d\rho} = \frac{xK(n' - \lambda')}{I \sin \lambda \cos(n - \lambda)}. \quad (5.5)$$

В случае линейного уравнения состояния $p = a_0^2 \rho + p_0$ имеем выражения для основных величин

$$a = a_0, \quad I^2 = 2a_0^2 \ln(\rho_*/\rho), \quad \sin \lambda = -(2 \ln(\rho_*/\rho))^{-1/2}.$$

Следовательно,

$$\rho < \exp(-1/2)\rho_* = \rho_1.$$

Рассмотрим поведение траекторий при $\rho_1 - \rho = \delta \rightarrow 0$. В этом случае

$$\sin \lambda \sim -1 + \rho_1^{-1}\delta, \quad \lambda \sim -\pi/2 + \rho_1^{-1/2}\delta^{1/2}, \quad I \sim a_0(1 + \rho_1^{-1}\delta).$$

Так как $n \sim n_0 - (2/3)\rho_1^{-3/2}\delta^{3/2}$, то $n'_\rho \sim \rho_1^{-3/2}\delta^{1/2}$ (n_0 — постоянная).

Из (5.5) получаем приближенные уравнения траекторий

$$x \sim x_0(1 + 2\rho_1^{-1/2}\delta^{1/2}), \quad y \sim y_0 + 2x_0(1 - (Da_0 \sin n_0)^{-1})\rho_1^{-1/2}\delta^{1/2}, \\ z \sim z_0 + 2x_0Ka_0^{-1}\rho_1^{-1/2}\delta^{1/2}.$$

Следовательно, при $\rho \rightarrow \rho_1$ траектории стремятся к прямой.

ЛИТЕРАТУРА

1. **Овсянников Л. В.** Лекции по газовой динамике. М.: Наука, 1981.
2. **Кочин Н. Е.** Теоретическая гидромеханика / Н. Е. Кочин, И. А. Кибель, Н. В. Розе. М.; Л.: Гостехтеоретиздат, 1948. Т. 2.
3. **Хабиров С. В.** Аналитические методы в газовой динамике. Уфа: Гилем, 2003.
4. **Овсянников Л. В.** Программа ПОДМОДЕЛИ. Газовая динамика // Прикл. математика и механика. 1994. Т. 58, вып. 4. С. 30–55.
5. **Хабиров С. В.** Классификация дифференциально-инвариантных подмоделей // Сиб. мат. журн. 2004. Т. 45, № 3. С. 682–701.

Поступила в редакцию 24/X 2011 г.
